

直接法による連立1次方程式の 並列解法アルゴリズム

望月義幸 平田博章 西村明夫 西澤貞次

松下電器産業株式会社 情報通信関西研究所

直接法による連立1次方程式の解法として、多枢軸列同時消去計算に基づくガウス消去法とガウス・ヨルダン法の並列化手法の提案とその評価を行う。本手法は、分散共有メモリ型並列計算機を対象としたもので、理論値による評価から、クラスタ化した方が、処理時間、加速率の点で有利であることが解った。また、問題規模がプロセッサ数に較べ大きいときは、枢軸数を増やすことが処理の高速化につながり、この仮定が成り立たないときは、問題規模とプロセッサ数に応じて枢軸数を可変的に使うことが必要であることが解った。

Parallel Algorithms for the Solution of Linear Systems of Equations by Direct Methods

Yoshiyuki MOCHIZUKI Hiroaki HIRATA Akio NISHIMURA Teiji NISHIZAWA

Matsushita Electric Industrial Co.,Ltd.
Kansai Information and Communications Research Laboratory
1006, Oaza Kadoma, Kadoma-Shi, Osaka 571, Japan

This paper proposes and evaluates parallelized, multi-pivot simultaneous elimination calculation based Gauss elimination and Gauss-Jordan elimination methods for the solution of linear systems of equations by direct methods. These methods were developed for a distributed shared memory parallel computer. From a theoretical evaluation, it was decided that clusterization was more advantageous for reasons of processing time and acceleration rate. Furthermore, it was determined that, when the scale of the problem is large in relation to the number of processors, the processing speed increases with an increase in the number of pivots. When this is not the case, it was determined that it is necessary to vary the number of pivots with respect to the scale of the problem and the number of processors.

1 はじめに

連立1次方程式の解法として、直接法は確固たる地位を築いている。その一方で、並列処理技術の重要性は、近年ますます増大している。そのような点から、連立1次方程式の直接法に基づく並列解法について考えることは、重要な課題であると言える。従って、本報告書では、分散共有メモリ型並列計算機を対象とした多枢軸列同時消去計算に基づくガウス消去法とガウス・ヨルダン法の並列化手法の提案を行うことをその目的とする。

多枢軸列同時消去計算は、同時消去を行う枢軸数を2枢軸以上に拡張したもので、それをガウス消去法、及びガウス・ヨルダン法に適用した。2枢軸列同時消去計算に基づくガウス消去法²⁾³⁾や、LU分解の立場からの多枢軸列同時消去計算に基づくガウス消去法と同様のアルゴリズム¹⁾については既に報告されているが、そこでは、並列化に関する考察は行われていない。

2 多枢軸列同時消去計算

以下の各節において、与えられた連立1次方程式は、 $Ax = b$, $A = (a_{ij})$, $1 \leq i, j \leq n$, $x = (x_1, x_2, \dots, x_n)^t$, $b = (b_1, b_2, \dots, b_n)^t$ とし、第r列までの消去が行われたときの係数行列を $A^{(r)} = (a_{ij}^{(r)})$ 、既知数ベクトルを $b^{(r)} = (b_1^{(r)}, b_2^{(r)}, \dots, b_n^{(r)})^t$ で表すものとする。また、同時消去を行う枢軸数は、k(≥ 1 の整数)とする。

2.1 ガウス消去法

後退代入の部分については、通常のガウス消去法と同じなので、ここでは、多枢軸同時消去計算に基づくガウス消去法の前進消去部分のアルゴリズムについて説明する。

[処理A₁] . 係数行列の第pk+1行の各要素と既知数ベクトルbの第pk+1成分を $a_{pk+1}^{(pk+1)}$ で割る。つまり、 $pk+2 \leq j \leq n$ として、

$$a_{pk+1}^{(pk+1)} = a_{pk+1}^{(pk)} / a_{pk+1}^{(pk+1)}, \\ b_{pk+1}^{(pk+1)} = b_{pk+1}^{(pk)} / a_{pk+1}^{(pk+1)}. \quad (2.1)$$

但し、枢軸の選択は行い、 $a_{pk+1}^{(pk+1)} \neq 0$ 。

$t=2, 3, \dots, k$ として、[処理A_t]を定義する。

[処理A_t] . 係数行列の第pk+t行の各要素及び、既知数ベクトルbの第pk+t成分に対して次の計算を行う。但し、 $pk+t \leq j \leq n$ とする。

$$\begin{aligned} Reg_{pk+t}^{(0)} &= a_{pk+t}^{(pk)}, \\ Reg_{pk+t}^{(1)} &= a_{pk+t}^{(pk)} - Reg_{pk+t}^{(0)} a_{pk+1}^{(pk+1)}, \\ &\dots, \\ Reg_{pk+t}^{(k-2)} &= a_{pk+t}^{(pk)} - \sum_{m=1}^{k-2} Reg_{pk+t}^{(m-1)} a_{pk+m}^{(pk+k)} \end{aligned} \quad (2.2)$$

$$a_{pk+t}^{(pk+k-1)} = a_{pk+t}^{(pk)} - \sum_{m=1}^{k-1} Reg_{pk+t}^{(m-1)} a_{pk+m}^{(pk+k)}. \quad (2.3)$$

$$b_{pk+t}^{(pk+k-1)} = b_{pk+t}^{(pk)} - \sum_{m=1}^{k-1} Reg_{pk+t}^{(m-1)} b_{pk+m}^{(pk+k)}. \quad (2.4)$$

次に、係数行列の第pk+t行の各要素、既知数ベクトルbの第pk+t成分を第pk+t行の対角要素で割る。つまり、 $pk+t+1 \leq j \leq n$ として、

$$a_{pk+t}^{(pk+k)} = a_{pk+t}^{(pk+k-1)} / a_{pk+t}^{(pk+k-1)}, \\ b_{pk+t}^{(pk+k)} = b_{pk+t}^{(pk+k-1)} / a_{pk+t}^{(pk+k-1)}. \quad (2.5)$$

[処理B] . 第i行の各要素に対して、次の計算を行う。但し、 $(p+1)k+1 \leq i, j \leq n$ とする。

$$\begin{aligned} Reg_i^{(0)} &= a_{pk+1}^{(pk)}, \\ Reg_i^{(1)} &= a_{pk+2}^{(pk)} - Reg_i^{(0)} a_{pk+1}^{(pk+1)}, \\ &\dots, \\ Reg_i^{(k-1)} &= a_{pk+1}^{(pk)} - \sum_{m=1}^{k-1} Reg_i^{(m-1)} a_{pk+m}^{(pk+k)}. \end{aligned} \quad (2.6)$$

$$a_{pk+1}^{(pk+k)} = a_{pk+1}^{(pk)} - \sum_{m=1}^k Reg_i^{(m-1)} a_{pk+m}^{(pk+k)}. \quad (2.7)$$

$$b_{pk+1}^{(pk+k)} = b_{pk+1}^{(pk)} - \sum_{m=1}^k Reg_i^{(m-1)} b_{pk+m}^{(pk+k)}. \quad (2.8)$$

[main操作G] . $n-[n/k]k=0$ ならば、[処理A₁] ~ [処理A_k] と [処理B] までの一連の処理を $p=0$ から $p=[n/k]-2$ まで繰り返し、更に、 $p=[n/k]-1$ として、[処理A₁] ~ [処理

$A_k]$ までの処理を行う。 $n-[n/k]k > 0$ ならば、
[処理 $A_1]$] ~ [処理 $A_k]$] と [処理 B] までの一連の処理を $p = 0$ から $p = [n/k]-1$ まで繰り返し、更に、 $p = [n/k]$ として、[処理 $A_1]$] ~ [処理 $A_{n-[n/k]k}$] までの処理を行う。但し、 $[x]$ は x を越えない最大の整数を表す。

以上が、多軸同時消去計算に基づくガウス消去法の前進消去部分のアルゴリズムである。アルゴリズム上の注意としては、式(2.1), (2.5)の除数の逆数や変数 Reg は、レジスタ変数として扱い、レジスタ上に保持するようにする。これは、メモリへのロード回数を減らすためで、これが本アルゴリズムの特徴でもある。軸選択方法は、部分軸選択とし、列交換の方法で行わなければならない。これは、[処理 $A_1]$] ~ [処理 $A_k]$] で、部分的に消去は行われているが、全体での消去（更新計算）は行われていないためである。

2.2 ガウス・ヨルダン法

[処理 $A_1]$] ~ [処理 $A_k]$] は、ガウス消去法と同じ。[処理 B] は、次の [処理 B'] に置き換わる。

[処理 B'] . 第 i 行の各要素に対して、式(2.6), (2.7), (2.8)を行う。但し、 $1 \leq i \leq p_k$, $(p+1)k+1 \leq i \leq n$, $(p+1)k+1 \leq i \leq n$ とする。

更に、次の [処理 C_t] ($t=1, 2, \dots, k-1$) が必要である。

[処理 C_t] . 係数行列の第 p_k+1 行から第 p_k+t 行の各要素及び、既知数ベクトル b の第 p_k+1 成分から第 p_k+t 成分に対して次の計算を行う。但し、 $p_k+t+2 \leq j \leq n$ とする。

$$\begin{aligned} Reg^{(0)} &= a_{p_k+1, p_k+t+1}, \\ Reg^{(1)} &= a_{p_k+2, p_k+t+1}, \\ \dots, \\ Reg^{(t-1)} &= a_{p_k+t, p_k+t+1}. \end{aligned} \quad (2.9)$$

$$\begin{aligned} a_{p_k+t+1, j}^{(t-1)} &= a_{p_k+t, j}^{(t-1)} - Reg^{(0)} a_{p_k+1, j}^{(t-1)}, \\ a_{p_k+t+2, j}^{(t-1)} &= a_{p_k+t+1, j}^{(t-1)} - Reg^{(1)} a_{p_k+2, j}^{(t-1)}, \\ \dots, \end{aligned}$$

$$a_{p_k+t+t+1, j}^{(t-1)} = a_{p_k+t, j}^{(t-1)} - Reg^{(t-1)} a_{p_k+t+1, j}^{(t-1)}. \quad (2.10)$$

$$b_{p_k+t+1}^{(t-1)} = b_{p_k+t}^{(t-1)} - Reg^{(0)} b_{p_k+1}^{(t-1)},$$

$$b_{p_k+t+2}^{(t-1)} = b_{p_k+t+1}^{(t-1)} - Reg^{(1)} b_{p_k+2}^{(t-1)},$$

$$\dots,$$

$$b_{p_k+t+t+1}^{(t-1)} = b_{p_k+t}^{(t-1)} - Reg^{(t-1)} b_{p_k+t+1}^{(t-1)}. \quad (2.11)$$

[main操作 J] . $n-[n/k]k=0$ ならば、[処理 $A_1]$] ~ [処理 A] と [処理 B] , [処理 $C_1]$] ~ [処理 C_{k-1}] までの一連の処理を $p = 0$ から $p = [n/k]-1$ まで繰り返し行う。 $n-[n/k]k > 0$ ならば、[処理 $A_1]$] ~ [処理 $A_k]$] と [処理 B] , [処理 $C_1]$] ~ [処理 C_{k-1}] までの一連の処理を $p = 0$ から $p = [n/k]-1$ まで繰り返し、更に、 $p = [n/k]$ として、[処理 $A_1]$] ~ [処理 $A_{n-[n/k]k}$] までの処理を行い、軸数を $n-[n/k]k$ とした [処理 B'] を行い、最後に、[処理 $C_1]$] ~ [処理 $C_{n-[n/k]k}$] までの処理を行う。

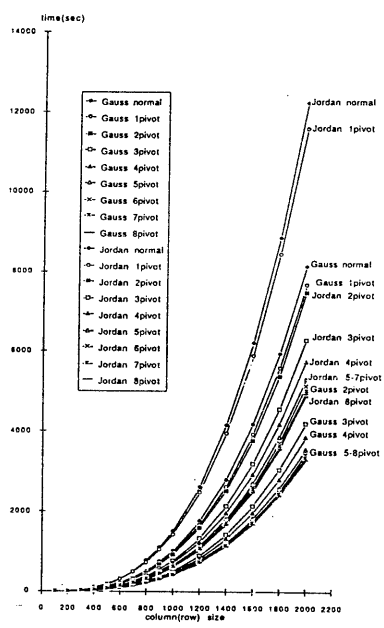
以上が、多軸同時消去計算に基づくガウス・ヨルダン法のアルゴリズムである。アルゴリズム上の注意は、ガウス消去法のときと同様。

2.3 逐次処理による評価実験

前節のガウス消去法、ガウス・ヨルダン法（1 ~ 8 軸）について、100次元から2000次元の問題に対し、スカラー計算機（单一プロセッサ）による評価を行った。使用したマシンはMIPS R C3260で、CPUがMIPS社製のR3000(25MHz), FPUがR3010, 命令キャッシュが64KB, データキャッシュが64KB, メインメモリが64MBで構成されている。プログラムコンパイル時のオプティマイズレベルは0で、軸選択は行っていない。浮動小数点演算は倍精度で行い、処理時間は、消去を始めてから解が求まるまでのCPU時間を測定した。実験結果のグラフを図1に示す。8軸の場合、通常の手法の約2.5倍高速である。

参考までに、作成したプログラムの浮動小数点演算の計算量について付記する。軸数とは無関係に、ガウス消去法では、乗算は $n^3/3+n^2-n/3$ 、加減算は $n^3/3+n^2/2-5n/6$ 、除算は n である。

ガウス・ヨルダン法では、乗算は $n^3/2+n^2/2$ 、加減算は $n^3/2-n/2$ 、除算は n である。



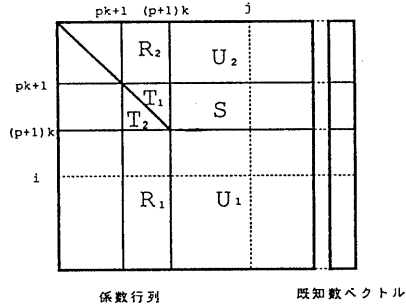
(図1) 処理時間

3 多枢軸列同時消去法の並列化手法

ここでは、分散共有メモリ型並列計算機を対象として、前章のアルゴリズムの並列化手法について考える。

3.1 データ割付

図2は係数行列と既知数ベクトルを模式的に示したものである。



(図2) 係数行列と既知数ベクトル

この図を基に、係数行列の各分散メモリへのデータ割付方法について考える。係数行列の割付方向としては、①行方向、②列方向、③2次元方向の3通りが考えられる。これらについて、I) 並列化可能度、II) メモリへのロード、III) 枢軸選択の観点から考えてみる。

①の行方向の場合：

I) . 図2の T_2 部分を消去したときの T_1 , S 部分の更新計算は並列化できないが、 U_1 , U_2 部分の更新計算や R_1 , R_2 部分の更新計算は並列化できる。

II) . メモリへのロードの減少のためには、1行分の R_1 または R_2 部分の k 個の要素をレジスタ上に保持する必要があり、これは可能である。
III) . 枢軸選択は、行方向への検索後、列交換の方法で行わなければならないが、検索のための1行分のデータは1つのメモリに保持されているので、検索のためのデータ通信は起こらず、列交換も各メモリ内で行うことができる。

②の列方向の場合：

I) . T_1 , S 部分の更新計算や U_1 , U_2 部分の更新計算は並列化できるが、 R_1 , R_2 部分の更新計算は並列化できない。

II) . メモリへのロードの減少のためには、 R_1 , R_2 部分の要素を全てレジスタ上に保持する必要があるが、これは不可能である。

III) . 検索のためには、各メモリに分散されている1行分のデータ全てに対し、絶対値の大小比較を行わなければならない、また、列交換はメモリ間で行わなければならない。

③の2次元方向の場合：

I) . T_1 , S 部分の更新計算や U_1 , U_2 部分の更新計算、 R_1 , R_2 部分の更新計算が並列化できる。

II) . 上述の② - II) と同様。

III) . 上述の② - III) と同様。

以上より、係数行列の割付方向としては、①の行方向が、最善であると言える。なお、① - I) で並列化できなかった部分は、クラスタ化した並列計算機では、クラスタ内のPE数での並列

化が可能である。

次に、データの割付方法であるが、枢軸数行未満の単位で割り付けた場合、図2の T_2 部分を消去したときの T_1 、S部分の更新計算を行う際に、ノード間での通信が必要になるが、枢軸数の整数倍行を単位として割り付ければ通信は必要なくなる。この部分の処理は、 U_1 、 U_2 部分の更新計算の前処理の一部で、なるべく速やかに処理されなければならない。また、処理としての一様性を保つ面でも、枢軸数の整数倍行を単位として考えるのが妥当と言える。一方、メモリ当たりのデータ量の均等性を考慮すれば、割り付ける行数の単位は小さい方が良い。従って、枢軸数行づつ割り付けるべきであるということになる。また、クラスタ化した並列計算機の場合、クラスタ内のPE数と枢軸数との関係は、PE数が枢軸数の約数個であることが望ましい。これは、クラスタ内のPEが処理する行数を均等にできるからである。

3.2 処理方法

まず、クラスタ化していない並列計算機の場合について考える。同時消去計算を行う枢軸数は k とし、係数行列の $p+1$ 行から $(p+1)k$ 行を保持しているメモリを含むノードをノード α_p とする。但し、ガウス消去法に関しては前進消去部分についてのみ述べる。

[1] ノード α_p 内のPEで、[処理A₁]の処理を行い、その間、他のノードのPEでは、[処理B]の式(2.6)の第1式の計算を行う。ノード α_p に、 $p+1$ 行から $(p+1)k$ 行以外の行も割り付けられているときは、ノード α_p でも式(2.6)の第1式の計算を行う。ノード α_p での式(2.1)の計算結果を他のノードのメモリにデータ転送する。

[2] ノード α_p 内のPEで、[処理A₂]の処理を行い、その間、他のノードのPEでは、[処理B]の式(2.6)の第2式の計算を行う。ノード α_p に、 $p+1$ 行から $(p+1)k$ 行以外の行も割り付けられているときは、ノード α_p でも式(2.6)

の第2式の計算を行う。ノード α_p での式(2.5)の計算結果($t=2$)を他のノードのメモリにデータ転送する。

, . . . ,

[k] ノード α_p 内のPEで、[処理A_k]の処理を行い、その間、他のノードのPEでは、[処理B]の式(2.6)の第 $k-1$ 式の計算を行う。ノード α_p に、第 $p+1$ 行から第 $(p+1)k$ 行以外の行も割り付けられているときは、ノード α_p でも式(2.6)の第 $k-1$ 式の計算を行う。ノード α_p での式(2.5)の計算結果($t=k$)を他のノードのメモリにデータ転送する。

[k+1] 全ノード内のPEで式(2.7)、(2.8)を一斉に行う。但し、ガウス消去法の場合は、第 $(p+1)k+1$ 行から第 n 行に対して行い、ガウスヨルダン法の場合は、第1行から第 $p+1$ 行と第 $(p+1)k+1$ 行から第 n 行に対して行う。

[k+2] ノード α_p で[処理C₁]～[処理C_{k-1}]の一連の処理を行う。

[main操作] $n-[n/k]k=0$ ならば、ガウス消去法の場合は[1]～[k+1]を $p=0$ から $p=[n/k]-2$ まで繰り返し、更に $p=[n/k]-1$ として、[1]～[k]を行う。ガウス・ヨルダン法の場合は[1]～[k+2]までの一連の処理を $p=0$ から $p=[n/k]-1$ まで繰り返し行う。 $n-[n/k]k>0$ ならば、ガウス消去法の場合は[1]～[k+1]を $p=0$ から $p=[n/k]-1$ まで繰り返し、更に $p=[n/k]$ として、[1]～[n-[n/k]k]を行う。ガウス・ヨルダン法の場合は、[1]～[k+2]を $p=0$ から $p=[n/k]-1$ まで繰り返し、更に、 $p=[n/k]$ として、[1]～[n-[n/k]k]までの処理を行い、枢軸数を $n-[n/k]k$ とした[k+1]、[k+2]を行う。

次に、クラスタ化した並列計算機の場合について考える。この場合の大きな違いは、操作[1]～[k]と[k+2]が、クラスタ内のPE数で並列化できることである。係数行列の $p+1$ 行から $(p+1)k$ 行を保持しているメモリを含むものをクラスタ α_p とし、クラスタ内のPE数は、ここでは同時消去行う枢軸数と同じ k とし、そ

れを P_E_1, \dots, P_E_k とし, P_E_m ($1 \leq m \leq k$) は, 第 $pk+m$ 行を担当する。

[CL1] . クラスタ α_p の P E で, [処理 A₁] を行う。その際, P_E_m ($1 \leq m \leq k$) は第 $(p+\nu)k+m$ 列 ($0 \leq \nu \leq (n-m)/k-p$ の整数) を担当し, 各 P E で一斉に行う。その間他のクラスタの P E では, 自分の担当行に対して, [処理 B] の式(2.6)の第1式の計算を一斉に行う。クラスタ α_p に, $pk+1$ 行から $(p+1)k$ 行以外の行も割り付けられているときは, クラスタ α_p でも式(2.6)の第1式の計算を行う。クラスタ α_p での式(2.1)を計算結果を他のクラスタのメモリにデータ転送する。

[CL2] . クラスタ α_p の P E で, [処理 A₂] の処理を行う。その際, P_E_m は第 $(p+\nu)k+m$ 列を担当し, 各 P E で一斉に行う。その間他のクラスタの P E では, 自分の担当行に対して, [処理 B] の式(2.6)の第2式の計算を一斉に行う。クラスタ α_p に, $pk+1$ 行から $(p+1)k$ 行以外の行も割り付けられているときは, クラスタ α_p でも式(2.6)の第2式の計算を行う。クラスタ α_p での式(2.5)の計算結果($t=2$)を他のノードのメモリにデータ転送する。

, , , ,

[CL_k] . クラスタ α_p の P E で, [処理 A_k] の処理を行う。その際, P_E_m は第 $(p+\nu)k+m$ 列を担当し, 各 P E で一斉に行う。その間他のノードの P E では, 自分の担当行に対して, [処理 B] の式(2.6)の第 $k-1$ 式の計算を一斉に行う。クラスタ α_p に, $pk+1$ 行から $(p+1)k$ 行以外の行も割り付けられているときは, クラスタ α_p でも式(2.6)の第 $k-1$ 式の計算を行う。クラスタ α_p での式(2.5)の計算結果($t=k$)を他のノードのメモリにデータ転送する。

[CL_{k+1}] . 全クラスタ内の P E で自分の担当行に対して, [処理 B] の式(2.7), (2.8)を一斉に行う。

[CL_{k+2}] . クラスタ α_p で [処理 C₁] ~ [処理 C_{k-1}] の一連の処理を行う。その際, P_E_m は第 $(p+\nu)k+m$ 列を担当し, 各 P E で一斉に行う。

[main操作] クラスタ化していない並列計算機の場合と同様。

最後に, 枠軸選択方法について述べる。担当ノード(クラスタ)の P E で行方向へ検索後, 検索した列番号を他のノード(クラスタ)へブロードキャストする。そのデータを基に, 直接もしくはインデックスの交換を列交換の方法で一斉に行う。未知数ベクトルに関しては, 担当ノード(クラスタ)間でその交換を行う。

3.3 評価

$T(k)$ は k 枠軸のときの単一プロセッサでの処理時間, $T_p(k)$ はそのときの全プロセッサでの並列処理部の処理時間, $T_a(k)$ は逐次処理部の処理時間とする(従って, $T(k)=T_a(k)+T_p(k)$)。更に, $T_{pc}(k)$ はクラスタ内部での並列処理部での処理時間, P は全プロセッサ数, P_c はクラスタ当たりのプロセッサ数である。 T_{tr} は転送時間等の並列化によるオーバヘッドとする。処理時間を浮動小数点演算とロード・ストアの和と考え, 枠軸選択については考慮せず, 並列化によるオーバヘッドは転送のみとし, 転送方法はブロードキャストとし, 演算, ロード・ストア, 転送のサイクル比を, (加減算) : (乗算) : (除算) : (転送) : (ロード・ストア) = 1 : 1 : 9 : 8 : 10 として計算すると, ガウス消去法(前進消去のみ)の場合,

$$T(k) = (12k+20)n^3/3k + 31n^2/2 + (20k^2+183k-120)n/6k, \quad (3.1)$$

$$T_p(k) = (12k+20)n^3/3k - (3k^2+2k-10)n^2/k - (3k^2+14k+30)n/3, \quad (3.2)$$

$$T_a(k) = (6k^2+35k-20)n^2/2k + (2k^3+16k^2+81k-40)n/2k, \quad (3.3)$$

$$T_{pc}(k) = (6k^2+35k-20)n^2/2k - (6k^3-54k^2-135k+120)n/6k, \quad (3.4)$$

$$T_{tr} = 4n^2 - 4n. \quad (3.5)$$

ガウス・ヨルダン法の場合、

$$T(k) = (6k+10)n^3/Pk + \{ (10k^2+11k+20)n^2/2k - (10k^3-90k^2-61k+120)n/6k \} \quad (3.6)$$

$$T_p(k) = (6k+10)n^3/Pk - \{ (6k^2+4k-20)n^2/k - (6k+20)n \} \quad (3.7)$$

$$T_s(k) = (22k^2+19k-20)n^2/2k - (10k^3-126k^2-181k+120)n/6k, \quad (3.8)$$

$$T_{pc}(k) = (22k^2+19k-20)n^2/2k - (32k^3-132k^2-263k+240)n/6k, \quad (3.9)$$

$$T_{tr} = 4(P_c+1)n^2 - 4(P_c+1)n. \quad (3.10)$$

一方、クラスタ化していない並列計算機での処理時間 $T_{np}(k)$ は、

$$T_{np}(k) = T_p(k)/P + T_s(k) + T_{tr}. \quad (3.11)$$

クラスタ化した並列計算機での処理時間 $T_{cl}(k)$ は、

$$T_{cl}(k) = T_p(k)/P + T_{pc}(k)/P_c + T_s(k) - T_{pc}(k) + T_{tr}. \quad (3.12)$$

従って、式(3.1)～(3.10)を式(3.11), (3.12)に代入すると、ガウス消去法の場合、

$$T_{np}(k) = (12k+20)n^3/3Pk + \{ 6(P-1)k^2 + (48P-4)k - 20(P-1)n^2/2Pk - \{ 6(P-1)k^3 + (48P-28)k^2 + (219P-60)k - 120P \} n/6Pk \} \quad (3.13)$$

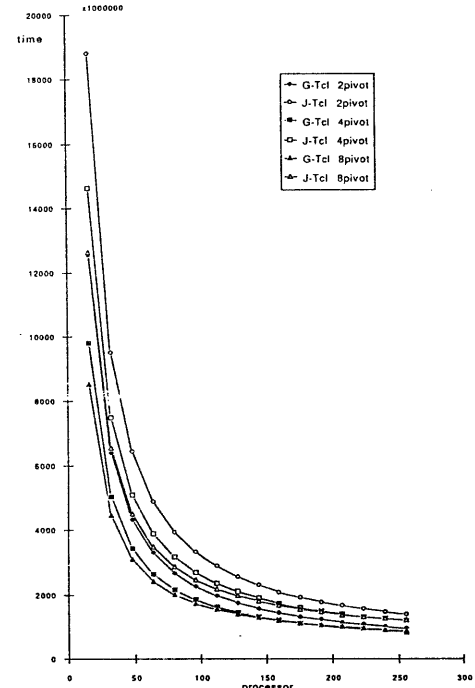
$$T_{cl}(k) = (12k+20)n^3/3Pk + \{ 6(P_c-1)k^2 + \{ 8P_c(P_c+1) + 35P - 4P_c \} k + 20(P_c-P) \} n^2/2PP_c k + \{ 6(2PP_c - P - P_c)k^3 + (54P - 28P_c - 6PP_c)k^2 + (135P - 60P_c + 132PP_c + 24PP_c^2)k - 120P \} n/6PP_c k, \quad (3.14)$$

ガウス・ヨルダン法の場合、

$$T_{np}(k) = (6k+10)n^3/Pk + \{ (22P-12)k^2 + (27P-8)k - 20(P-2)n^2/2Pk - \{ 10Pk^3 - (126P-36)k^2 - (157P-120)k + 120P \} n/6Pk \} \quad (3.15)$$

$$\begin{aligned} T_{cl}(k) = & (6k+10)n^3/Pk + \{ (22P-12)k^2 + (27P-8)k - 20(P-2)n^2/2Pk - \{ 10Pk^3 - (126P-36)k^2 - (157P-120)k + 120P \} n/6Pk \} \\ & + \{ 8PP_c(P_c+1) + 19P - 8P_c \} k + 20(2P_c - P) \} n^2/2PP_c k \\ & + \{ (22PP_c - 32P)k^3 + (132P - 36P_c - 6PP_c)k^2 + (263P - 120P_c - 106PP_c - 24PP_c^2)k - 240P + 120PP_c \} n/6PP_c k. \end{aligned} \quad (3.16)$$

T_{np} と T_{cl} を比較すると、 n の 3 次の項の係数は等しいので、 n の 2 次の項の小さい方が処理時間は速い。従って、処理方法、軸数、プロセッサ数が同一ならば、クラスタ化した並列計算機の方が高速である。 $T_{cl}(T_{np})$ について考察する。 $k \ll n$ と仮定できるので、もし $P \ll n$ ならば、式(3.13)～(3.16)における n の 3 次の項が関数値に大きく影響し、その n の 3 次の項の係数が k に関して単調減少であることから、 $T_{cl}(T_{np})$ は、 k に関して単調減少となる (P, P_c, n は固定)。 $n=3000, k=2, 4, 8$ のときの T_{cl} のグラフを図 3 に示す。図中、G はガウス消去法、J はガウス・ヨルダン法を表す。



(図 3) T_{cl} のグラフ

図 3において、プロセッサ数が増えたところで

は、 n の2次の項の影響が大きくなるので、軸数の多い方が遅くなっている部分が見られる。

次に、単一プロセッサ処理に対する加速率について考察する。加速率を次式で定義する。

$$(加速率NP) = T(k) / T_{NP}(k) \quad (3.17)$$

$$(加速率CL) = T(k) / T_{CL}(k) \quad (3.18)$$

この定義に基づき、 $k=2, 4, 8; n=3000, 10000, P_c=k$ の場合について調べた結果を図4, 5に示す。図中、NPはクラスタ化していない並列計算機の場合、CLはクラスタ化した並列計算機の場合を示す。図から、 P_c, n を固定すると、軸数が増えるにつれ加速率は悪くなることが解る。

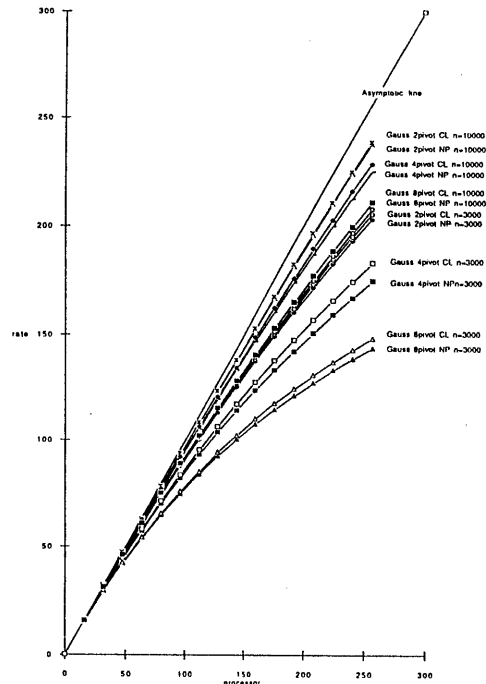
4 おわりに

本手法は、分散共有メモリ型並列計算機を対象としたものだが、理論値による評価から、クラスタ化した方が、処理時間、加速率の点で有利であることが解る。また、問題規模がプロセッサ数に対して大きいときは、軸数を増やすことが処理の高速化につながる。この仮定が成り立たないときは、問題規模とプロセッサ数に応じて軸数を可変的に使い分ける必要がある。

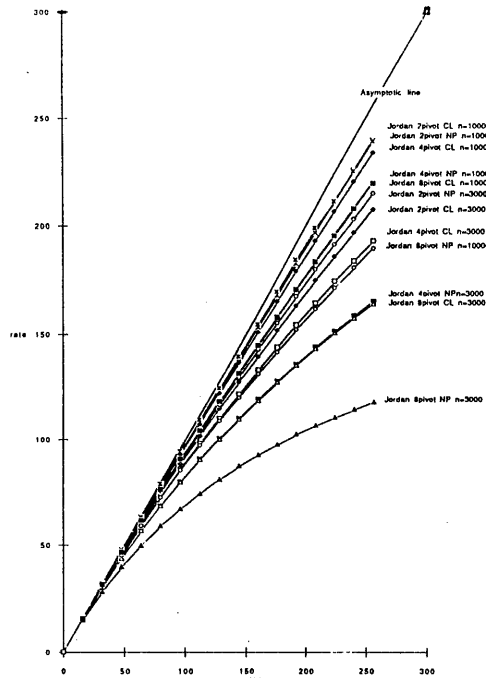
以上、本報告書を通じ、本手法の有効性を示せたものと思う。今後は、クラスタ化した並列計算機における軸数とクラスタ内のプロセッサ数との最適関係についての考察と実際の並列計算機による評価を行いたい。

参考文献

- 1) Armstrong, J. : ALGORITHM AND PERFORMANCE NOTES FOR BLOCK LU FACTORIZATION, International conference on parallel processing, Vol. 3, pp. 161-164(1988).
- 2) 日本物理学会編：スーパーコンピュータ，p. 278，培風館(1985)。
- 3) 村田健郎，小国力，唐木幸比古，スーパーコンピュータ - 科学技術計算への適用，p. 304，丸善株式会社(1985)。



(図4) ガウス消去法の加速率



(図5) ガウス・ヨルダン法の加速率